

# 기공의 성장과 붕괴

金 琪 泰  
포항공과대학 기계공학과 교수



● 1953년 생  
● 연속체역학을 전공하였으며, 다공질 재료, 분밀야금, 츄싱 재료의 손상역학 등에 관심이 있다.

## 1. 머리말

다공질 재료의 기계적 성질을 조사하기 위하여 상당균질 연속체 또는 기공의 분포를 나타내는 부가적인 변수를 갖는 일반적인 연속체로써 그 모델에 사용한다. 체적 다공성을 나타내는 한개의 스칼라 변수를 사용하는 이 이론적인 접근방법을 Herrmann<sup>(1)</sup>은 다공질금속에 적용하였고, Goodman과 Cowin<sup>(2)</sup>은 입상(granular)재료에 적용하였다. 또한, 다공성은 손상(damage)과도 직접적인 관계를 갖는다. 예를 들면, Kachanov<sup>(3)</sup>의 (스칼라) 손상측정치는 다공성측정치와 아주 유사하며, 크리프파열의 손상기구<sup>(4)</sup>는 입자면에서의 기공의 생성, 성장 및 합체(coalescence)에 인한 것으로 간주되기도 한다.

기공의 분포를 나타내는데 한 개의 부가적인 스칼라변수만으로 적합한가 하는 것은 아직 논쟁중인 문제점이다. 체적다공성뿐 아니라 선 및 면적 다공성을 정의함으로 텐서 측정치계수를 만들수도 있을 것이다. 그러나 만일 기공의 공간분포가 통계적으로 균질하고 등방성이라면 세가지(선, 면, 체적다공성) 모든 기공측정치는 같은 값을 가질 것이다. (면적과 체적다공성에 관한 토의는 Martin<sup>(5)</sup>의 논문을 참조) Drew<sup>(6)</sup>는 기공분포의 여러가지 모멘트를 사용하는 이론적 접근방법을 제안하였다. 또한 입상재료에서의 조직(fabric) 텐서측정치에 관한

논의도 꽤 많았다<sup>(7)</sup>.

기공공간의 변화에 대한 텐서측정치는 다공질재료에서의 체적평균변형률에 관한 논의로부터 야기된다. 입상재료, 다공질재료, 비균질재료에 관한 유용한 조사문헌은 Jenkins와 Satake<sup>(7)</sup>가 편집한 세미나 기요와 Cowin과 Carroll<sup>(8)</sup>이 편집한 심포지움 기요에서 찾아볼 수 있다. 비균질재료에 관하여는 특별기획논문집<sup>(9,10)</sup>등이 있다.

특히, 이 조사문헌들에서는 다공질재료를 접촉하고 있는 입자의 접합체라고 취급하거나 또는 고체 매트릭스내에 기공의 분포를 갖는 재료라고 취급한다. 때때로 이 두 가지 접근방법이 모두 사용되는데, 예로서 금속분말의 압축치밀화를 규명하는데 초기반응은 입자의 접촉문제로 나타나며, 말기반응은 기공주위의 응력집중문제로 나타난다.

본 글에서는 다공질재료의 구성방정식의 개발을 위한 이론적 접근방법을 논하고자 한다. 여기서 부분적으로는 미소역학적인 중공구형모델을 사용하고, 또 부분적으로는 경험적 방법 또는 현상학적 방법들을 사용한다.

## 2. 일반적 결과

다공질재료의 성질에 대한 일반적인 결과는 응력과 변형률의 체적평균치에 잘 알려진 정리 등을 적용함으로 구할 수 있다. 예를 들면, 영역  $R$ 과 그 경계  $B$ 를 가지며 체적력이 없는

평형상태에 있는 물체의 Cauchy응력의 체적평균치  $\bar{\sigma}_{ij}$ 는 다음과 같이 쓸 수 있다.

$$\bar{\sigma}_{ij} = \frac{1}{V} \int_B t_i x_j da \quad (1)$$

여기서  $V$ 는  $R$ 의 체적이고,  $t_i$ 는  $B$ 에 가해진 표면력이며,  $x_i$ 는 직각좌표이다. 이 결과는 평형방정식으로 쉽게 구할 수 있고, 평균응력은 재료의 반응과 무관하게 작용력과 현상태의 기하학으로부터 결정되는 것이 주목할만한다. 유사하게 물체내의 미소변형률의 체적평균치  $\bar{\epsilon}_{ij}$ 는

$$\bar{\epsilon}_{ij} = \frac{1}{2V} \int_B (u_i n_j + u_j n_i) da \quad (2)$$

이여, 여기서  $u_i$ 는 변위성분이고,  $n_i$ 는  $B$ 에 수직인 외향단위벡터의 성분을 나타낸다. 식(2)에서 평균변형률은 경계변위로 부터 결정되는 것을 알 수 있고, 이로부터 기공의 변형률을 정의할 수 있음을 보여준다. Piola응력, 변형구배, 스트레인속도 텐서의 평균치에 대해서도 식(1) 및 (2)와 비슷한 식을 구할 수 있다. 또한 식(1)과 (2)는 유체가 찬 다공질 탄성고체<sup>(11)</sup>의 정적반응을 위한 이론의 개발에도 쓰일 수 있다.

다공성  $\phi$ 의 정의는 전체체적  $V$ 에 대한 기공체적  $V_p$ 의 비로 나타낸다. 즉,

$$\phi = \frac{V_p}{V} \quad (3)$$

지배방정식들은 다음과 같이 요약될 수 있다.

$$\epsilon_{ij} = \epsilon^s_{ij} + \hat{\epsilon}_{ij}, \quad \sigma = \sigma^s_{ij} - \frac{\phi}{1-\phi} \hat{\sigma}_{ij} \quad (4)$$

그리고

$$\epsilon^s_{ij} = K^s_{ijkl} \sigma^s_{kl}, \quad \hat{\epsilon}_{ij} = \hat{K}_{ijkl} \hat{\sigma}_{kl} \quad (5)$$

여기서  $\sigma_{ij}$ 와  $\epsilon_{ij}$ 는 다공질재료의 응력과 변형률을 나타내며,  $\sigma^s_{ij}$ 와  $\epsilon^s_{ij}$ 는 고체 매트릭스에서의 응력과 변형률을 나타낸다. 또, 변형률  $\hat{\epsilon}_{ij}$ 는 다음과 같이 정의된다.

$$\hat{\epsilon}_{ij} = \phi (\epsilon^v_{ij} - \epsilon^s_{ij}) \quad (6)$$

여기서  $\epsilon^v_{ij}$ 는 기공공간의 변형률을 나타낸다. Terzaghi상당응력  $\hat{\sigma}_{ij}$ 는

$$\hat{\sigma}_{ij} = \sigma_{ij} + p_f \delta_{ij} \quad (7)$$

으로 주어지며  $p_f$ 는 기공내의 유체압력을 나

타낸다.

$\hat{\epsilon}_{ij}$ 는 기공형상의 변화에 관한 텐서 측정치를 제공하며, 이 변화는 식 (5)의 둘째식에 보인 바와 같이 Terzaghi상당응력에 의해 영향을 받는다. 텐서  $K^s_{ijkl}$ 는 매트릭스에 대한 탄성 컴플라이언스텐서이며,  $\hat{K}_{ijkl}$ 는 변형률  $\hat{\epsilon}_{ij}$ 의 변화를 지배한다. 전체적인 반응은 구성방정식

$$\epsilon_{ij} = K_{ijkl} \sigma^*_{kl} \quad (8)$$

로 지배되며 여기서 상당 컴플라이언스텐서  $K_{ijkl}$ 은

$$K_{ijkl} = \frac{1}{1-\phi} K^s_{ijkl} + \hat{K}_{ijkl} \quad (9)$$

이며, 상당응력텐서  $\sigma^*_{ij}$ 는

$$\sigma^*_{ij} = \sigma_{ij} + p_f (\delta_{ij} - M_{ijkl} K^s_{klmn}) \quad (10)$$

으로 주어진다.

상당 컴플라이언스텐서  $K_{ijkl}$ 은 실험으로부터  $\hat{K}_{ijkl}$ 보다 더 쉽게 측정될 수 있다. 텐서  $M_{ijkl}$ 은 상당계수텐서이며 식(10)은 비동방성 탄성변형에 대하여 상당 응력법칙을 부여한다.

### 3. 중공구형 모델

Torre<sup>(12)</sup>에 의해 처음으로 소개된 중공구형 모델은 다공질재료의 반응을 위한 적절한 미소모델로 널리 쓰이고 있다. 이는 또한 복합재료의 반응을 해석하기 위해서도 쓰이고 있다<sup>(13)</sup>. Torre는 금속분말의 압축방정식을 구하기 위하여 중공구형 모델을 사용하였다. 그 후, MacKenzie와 Shuttleworth<sup>(14)</sup>는 금속분말의 소결시 선형점성반응을 조사하기 위하여 사용하였고, MacKenzie<sup>(15)</sup>는 선형 탄성영역하의 동방성 다공질 탄성재료의 상당탄성계수를 구하기 위하여 사용하였다. 압력과 기공성간의 관계는 재료의 압축성에 의존하지 않는다는 사실로 부터 중공구형모델의 해석이 단순하게 되며, 이로 부터 재료가 비압축성을 갖는다고 이 상화된다. 따라서 구대칭문제는 1차자유도로 귀착되므로, 속도(rate) 영향, 변형경화, 점탄소성같은 꽤 복잡한 반응등을 갖는 재료에 대해서도 해석적인 해답을 얻을 수 있는 것이다.

### 3.1 기본방정식

체적보존을 수반하는 구대칭변형은 다음과 같이 쓸 수 있다.

$$r^3 - a^3 = r_0^3 - a_0^3; \theta = \theta_0; \psi = \psi_0 \quad (11)$$

여기서  $(r_0, \theta_0, \psi_0)$ 와  $(r, \theta, \psi)$ 는 각각 변형전과 변형후의 질점의 구좌표를 나타내고  $a_0$ 와  $a$ 는 중공구의 내경의 초기값과 현재값을 나타낸다. 국부변형은 반경방향의 신장  $\lambda = (r_0^2/r^2)$ 과 측면의 신장  $\lambda^{-1/2}$ 으로 구성된다. 국부상태에서의 진응력(Cauchy응력)은 정수응력을 갖는 반경방향의 일축응력이며, 여기서 비압축성때문에 정수응력의 영향은 무시된다.

준정적 압축문제에서의 지배방정식은 반경방향의 평형방정식

$$\frac{d\sigma_{rr}}{dr} + \frac{2}{r}(\sigma_{rr} - \sigma_{\theta\theta}) = 0 \quad (12)$$

이며, 내경( $r=a$ )과 외경( $r=b$ )에서의 경계조건은

$$\sigma_{rr}=0 \quad \text{at } r=a; \quad (13)$$

$$\sigma_{rr}=-P \quad \text{at } r=b$$

이다. 일축인장하의 재료의 반응은

$$\sigma = \tilde{\sigma}(\lambda) = \tilde{\sigma}(\epsilon) \quad (\epsilon = \ln \lambda) \quad (14)$$

이며, 여기서  $\epsilon$ 은 대수변형률이다.

압축방정식은 식 (12)~(14)로 부터

$$P = 2 \int_a^b \tilde{\sigma}(\lambda) \frac{dr}{r}; \quad \lambda = (r_0/r)^2 \quad (15)$$

으로 구해진다. 중공구의 기공성  $\phi$ 의 초기값과 현재값은

$$\phi = \left(\frac{a}{b}\right)^3; \quad \phi_0 = \left(\frac{a_0}{b_0}\right)^3 \quad (16)$$

이다. 분말야금학자들이 사용하는 상대밀도  $D$ 는

$$D = \frac{V_s}{V} = 1 - \phi \quad (17)$$

로 쓸 수 있고, 충격물리학자들이 통상적으로 쓰는 기공성변수  $\alpha$ 는

$$\alpha = \frac{V}{V_s} = \frac{1}{(1-\phi)} \quad (18)$$

으로 정의된다. 여기서  $V_s$ 는 매트릭스의 체적을 나타내고,  $V$ 는 다공질재료의 전체 체적을 나타낸다.

### 3.2 분말압축

금속분밀의 정적압축하의 압력과 상대밀도의 관계를 나타내기 위하여 Konopicky<sup>(16)</sup>와 Shapiro와 Kolthoff<sup>(17)</sup>가 다음과 같은 경험식을 제안하였다.

$$P = A + B \ln \frac{1}{1-D} \quad (19)$$

이 식은 분말 야금학자들에 의해 널리 사용되고 있으며, 다양한 여러재료에 대하여 압력과 상대밀도 관계를 잘 나타낸다. Torre<sup>(12)</sup>는 강성-완전소성으로 재료로 된 중공구의 압축문제를 해석함으로써 다음 식을 구하였다.

$$P = \frac{2}{3} Y \ln \frac{1}{1-D} \quad (20)$$

여기서  $\tilde{\sigma}(\lambda) = Y$ 는 항복강도를 나타낸다.

Carroll과 Kim<sup>(18)</sup>은 재료의 변형경화성을 포함함으로 Torre의 해석을 수정하였고, 특히 특수한 변형경화법칙을 사용함으로 수치해가 아닌 간단한 초보함수로 구성된 해석해를 구하였다. 그들이 사용한 변형경화법칙은 상용재료에 가장 적합하다고 알려진 Voce<sup>(19)</sup>와 Palm<sup>(20)</sup>의 포화경화법칙으로서 다음과 같은 형태를 갖는다.

$$\sigma = Y_\infty - (Y_\infty - Y_0) e^{-\epsilon/\epsilon_c} \quad (21)$$

특히  $\epsilon_c = 2/3$ 인 경우에는 중공구형 모델의 해석으로부터 식 (19)와 상수

$$A = -\frac{2}{3}(Y_\infty - Y_0) \ln \frac{1}{1-D_0},$$

$$B = \frac{2}{3} Y_\infty \quad (22)$$

를 구할 수 있다.

### 3.3 속도 영향

Murray, Rodgers 및 Williams<sup>(21)</sup>등은 속도에 의존하는 압축방정식을 다음과 같이 제안하였다.

$$P = C \frac{\dot{D}}{1-D}; \quad C = \frac{4}{3} \eta \quad (23)$$

여기서  $\eta$ 는 전단점성도이고  $\dot{D}$ 은  $D$ 의 시간미분값이다. 이 방정식은 MacKenzie와 Shuttleworth<sup>(14)</sup>가 선형 점성유체유동을 갖는

중공구형모델을 사용하여 무압축소결을 위하여 구한 식으로 부터 얻었다.

Wilkinson과 Ashby<sup>(22)</sup>는 멱수 크리프 법칙과 미소역학적 모델을 사용하여 속도에 의존하는 압축모델을 개발하였다. 그들의 모델은 세 단계의 압축으로 구성되는데, 각 단계는 다음과 같은 형태의 식으로 표현된다.

$$\dot{D} = f(D)P^n \quad (24)$$

그후, Swinkels 등<sup>(24)</sup>등은 이 모델을 수정하였다.

Carroll과 Holt<sup>(24)</sup>는 동적인 탄성, 완전소성 중공구형모델의 해석으로부터 속도의존하는 압축방정식을 구하였다. 그 후, 점성속도의 영향을 포함시켜 수정한 모델을 Holt 등<sup>(25)</sup>이 구하였는데, 그 압축방정식은 다음과 같다.

$$\begin{aligned} P &= P_s(D) + P_{vis}(D, \dot{D}) \\ &\quad + P_{kin}(D, \dot{D}, \ddot{D}) \end{aligned} \quad (25)$$

여기서 정적반응함수  $P_s$ 는 초기 탄성반응, 탄성소성반응 및 전체소성(fully plastic)반응으로 구성된다. 이 중에서 전체소성반응은 식 (20)과 같다. 점성반응함수  $P_{vis}$ 는 식 (23)의 형태를 갖는다. 동적반응함수  $P_{kin}$ 은 관성의 영향을 나타내며, 다음과 같은 형태를 갖는다.

$$\begin{aligned} P_{kin} &= -c^2 \frac{d}{d\alpha} \left\{ \frac{1}{2} f(\alpha) \dot{\alpha}^2 \right\}; \\ \alpha &= \frac{1}{D} \end{aligned} \quad (26)$$

여기서

$$\begin{aligned} c^2 &= \frac{\rho a_0^2}{3(\alpha_0 - 1)^{2/3}}; \\ f(\alpha) &= (\alpha - 1)^{-1/3} - \alpha^{-1/3} \end{aligned} \quad (27)$$

식 (25)의 양변에  $\dot{D}/D^2$ 를 곱하면 압축중인 중공구의 에너지 평형방정식을 구할 수 있다. 가해진 압력에 의하여 한 일률은 탄소성 가공율, 점성소산율 및 동적 에너지율의 합과 같다. 식 (27)로 부터 동적 에너지는 재료의 밀도  $\rho$ 와 기공의 표면적 ( $a_0^2$ )에 비례함을 알 수 있다.

강도와 점성도가 온도에 의존하는 재료를 중공구형 모델에 적용하여 Carroll 등<sup>(27)</sup>은 폭발에 의한 금속분말의 압축방정식을 구하였다.

### 3.4 최대압력 불안전성

외부에서 가한 균일한 인장력(또는 내부의 균일압력)에 의한 중공구의 팽창문제도 역시 흥미있는 문제이다. 즉, 중공구가 팽창함에 따라 압력이 최대값에 도달한 후 감소하는 경우 또는 국부적인 최대값과 최소값에 이르는 경우 등을 관찰할 수 있다. 이 효과는 팽창하는 공무풍선에서도 실험적으로 볼 수 있다. 이 문제의 중요성은 파열과 파단으로 이어지는 인장영역에서의 기공의 성장에 있다.

이 문제를 해석하는데 다음과 같은 변수변환 이 도움이 된다<sup>(28)</sup>.

$$x = \lambda^{3/2} = r_o^3 / r^3 \quad (28)$$

식 (14)와 식 (28)로 부터

$$\sigma = \hat{\sigma}(\lambda) = f(x) \quad (29)$$

로 쓸 수 있다. 따라서 식 (15)와 (29)로 부터 압력방정식은 다음과 같이 쓸 수 있다.

$$P = \frac{2}{3} \int_{x_b}^{x_a} \frac{f(x)}{x-1} dx \quad (30)$$

여기서

$$x_a = \frac{a_0^3}{\alpha^3} = \frac{\alpha_0 - 1}{\alpha - 1}; \quad x_b = \frac{b_0^3}{\alpha^3} = \frac{\alpha_0}{\alpha} \quad (31)$$

식 (30)에 Leibnitz의 법칙을 적용하여 미분하면 다음식을 구할 수 있다.

$$\begin{aligned} \frac{dP}{d\alpha} &= \frac{2}{3(\alpha - \alpha_0)} \left[ \left( \frac{\alpha_0 - 1}{\alpha - 1} \right) f \left( \frac{\alpha_0 - 1}{\alpha - 1} \right) \right. \\ &\quad \left. - \frac{\alpha_0}{\alpha} f \left( \frac{\alpha_0}{\alpha} \right) \right] \end{aligned} \quad (32)$$

함수  $s(x)$ 를 다음과 같이 정의하면 편리하다.

$$s(x) = xf(x) \quad (33)$$

식 (33)으로 부터 식 (32)는 다음과 같이 쓸 수 있다.

$$\frac{dP}{d\alpha} = \frac{2}{3(\alpha - \alpha_0)} [s(\frac{\alpha_0 - 1}{\alpha - 1}) - s(\frac{\alpha_0}{\alpha})] \quad (34)$$

식 (34)로 부터 압력의 정상(stationary)값에 대한 조건은

$$s(\frac{\alpha_0 - 1}{\alpha - 1}) = s(\frac{\alpha_0}{\alpha}) \quad (35)$$

된다. 또한, 이 식은

$$x_a f(x_a) = x_b f(x_b) \quad (36)$$

로 쓸 수 있다. 식 (34)를 미분하고, 식 (35)를

사용하면 정상값  $\alpha = \alpha^*$ 에서의  $d^2P/d\alpha^2$ 에 대한 식을 구할 수 있다.

$$\frac{d^2P}{d\alpha^2} = \frac{2}{3(\alpha - \alpha_0)} \left[ -\frac{\alpha_0 - 1}{(\alpha - 1)^2} s' \left( \frac{\alpha_0 - 1}{\alpha - 1} \right) - \frac{\alpha_0}{\alpha^2} s' \left( \frac{\alpha_0}{\alpha} \right) \right] \quad (37)$$

Carroll<sup>(28)</sup>은 재료의 반응에 따라 다음 세 가지의 중공구의 팽창현상을 보였다.

Type A 함수  $s$ 가 구간  $(0, 1)$  사이에서 단조함수일 경우, 식 (35)는  $\alpha_0 < \alpha < \infty$  사이에서 실근을 갖지 않으므로, 압력은 단조하게 증가한다.

Type B 함수  $s$ 가 구간  $(0, 1)$  사이에서 한개의 최대값을 가질 경우, 식 (35)는 한개의 실근  $\alpha^*$  ( $\alpha_0 < \alpha^* < \infty$ )를 가지며, 압력  $P$ 는 기공성  $\alpha^*$ 에서 최대값  $P^*$ 를 갖고, 그후 감소한다.

Type C 함수  $s$ 가 구간  $(0, 1)$  사이에서 국부최대값과 국부최소값을 가질 경우 식 (35)는  $(\alpha_0, \infty)$  사이에서 근이 없거나, 한개의 실근이나 두개의 근을 초기 기공성  $\alpha_0$ 에 따라 갖는다. 예로서, 벽이 두꺼운 중공구는 압력이 단조하게 증가하고, 벽이 얇은 중공구는 압력이 국부 최대값과 국부 최소값을 갖는다.

또한 Kim<sup>(27)</sup>은 압축되었던 중공구가 내부압력등으로 팽창될 때 (압축에 인한) 잔류 응력의 영향으로 팽창압력의 최대값은 작아지나 불안정점이 지연됨을 보였다.

### 3.5 편차영향

중공구형모델은 다공질재료의 비정수반응을 조사하기 위하여도 사용될 수 있다. 내부는 표면력을 받지 않고 외부는 균일한 표면력을 받는 경우의 선형탄성해로 부터 다공질 탄성재료의 상당 탄성계수들을 구할 수 있음을 알 수 있다.

$$t_i = \sigma_{ij}^0 n_j \text{ on } r = b ; \sigma_{ij}^0 = \text{상수} \quad (38)$$

이들 해로 부터 초기항복조건을 구할 수 있다. 즉, 식 (38)의 하중 경계조건을 사용하여 중공

구의 내경으로부터 소성항복이 시작됨을 보일 수 있다<sup>(29)</sup>. 그러나, 탄성범위를 넘어서는 근사해나 수치해만이 가능할 것이다.

Green<sup>(30)</sup>과 Gurson<sup>(31)</sup>는 탄성, 완전소성 재료로된 다공질재료의 현상학적인 근사해의 해석을 위해 각각 다음과 같은 특수 하중함수를 제안하였다.

$$f = \frac{1}{2} \tau_{kl} \tau_{kl} + \frac{27}{4} \left\{ \frac{1 - \phi^{1/3}}{(3 - 2\phi^{1/4}) \ln \phi} \right\}^2 \bar{s}^2 - 3 \left\{ \frac{1 - \phi^{1/3}}{3 - 2\phi^{1/4}} \right\}^2 Y_s^2 \quad (39)$$

$$f = \frac{1}{2} \tau_{kl} \tau_{kl} + \frac{2}{3} \phi Y_s^2 \cos h \left( \frac{3\bar{s}}{2Y_s} \right) - \frac{1}{3} (1 + \phi^2) Y_s^2 \quad (40)$$

여기서  $\tau_{kl}$ 은 편차응력성분이고  $\bar{s} = \frac{1}{3} \sigma_{kk}$ 는 정수응력 성분이다. 또한,  $Y_s$ 는 매트릭스의 소성항복강도를 나타낸다.

Curran과 Carroll<sup>(29)</sup>은 유한요소법을 중공구형모델에 적용하여 전단력에 의한 압축향상의 효과를 보였다.

## 4. 현상학적 모델

다공질재료의 일반적 3차원 하중하에서의 탄성소성반응의 해석을 위해서는 유한 요소법을 통한 중공구형 모델의 해석법외에도 현상학적 모델을 들 수 있다. 즉, 다공질고체를 기공성  $\phi$ 를 부가적인 내부변수로 갖는 균일한 연속체라고 가정하고 기공의 영향을 고려한 특수한 하중(항복)함수를 사용하여 거시적인 탄성소성반응을 해석하는 것이다.

Kim<sup>(32)</sup>은 다금질 금속의 매트릭스가 탄성, 완전소성 반응을 갖는다고 가정하여 기공의 영향을 조사하였다. 이 결과로 구한 이론식은 Shipman 등<sup>(33)</sup>이 구한 다공질텅스텐의 실험치와 비교하여 작은 소성변형의 범위에서는 잘 일치하였다. 그러나, 실제로 대부분의 금속은 소성가공중에 변형경화를 보이고, 일반적으로 다공질금속에서의 변형경화는 기공의 변화에

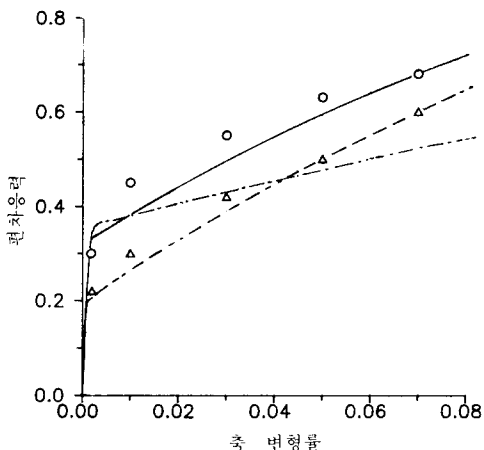


그림 1 다른 가중경로를 갖는 다공질 텅스텐의 정수압력 0.8GPa하에서의 편차응력과 일축변형률의 관계를 이론치 (실선, 점선)와 실험치 ( $\circ$ ,  $\triangle$ )로 비교. 위의 곡선은 정수압 1.0GPa까지 압축되어 이미 소성항복이 된 경우이다. 쇄선은 Gruson의 항복함수로부터 구한 값이다.

의한 변형경화뿐 아니라, 매트릭스의 변형경화도 함께 고려되어야 할 것이다. 최근에, Kim<sup>(34)</sup>은 매트릭스의 변형경화를 포함한 특수하중함수를 다음과 같이 제안하였다.

$$f = \frac{1}{2} \tau_{kl} \tau_{kl} + \alpha \phi s^2 - \kappa \quad (41)$$

여기서  $\alpha$ 는 상수이며  $\kappa$ 는 가공경화계수이다. 이 결과로 구한 구성방정식들로부터 정수압축, 일축변형률 압축, 삼축응력 압축하의 다공질금속의 탄성소성반응을 조사하였다. 또한, 가중경로에 따른 가공경화현상도 이론적으로 예측이 가능하였고 다공질 텅스텐의 실험치와 비교하여 아주 잘 일치하였다(참조: 그림 1)

## 5. 고온 크리프 압축

여기서는 일정한 고온고압하의 금속분말의 시간에 따른 치밀화를 조사하기 위한 모델을 논하고자 한다. 이 연구는 금속분말이나 다공질금속의 소결, 열간동압압축(hot isostatic pressing) 또는 단조등의 연구에 중요한 역할

을 한다.

Carroll<sup>(35)</sup>은 Swinkels 등<sup>(23)</sup>이 구한 실험치와 중공구형모델에 근거하여 부분적으로 경험적이고, 또 부분적으로는 미소역학적인 모델을 제안하였다. Kim<sup>(36)</sup>은 중공구형모델과 온도의 존하는 변형경화법칙<sup>(37)</sup>을 사용하여 예열된 금속분말 및 다공질고체의 압축방정식을 구하였다.

고온압축하의 금속분말의 시간에 따른 치밀화 기구를 조사하기 위하여 최근에 Kim<sup>(38)</sup>은 철분말의 실험치와 고온압축방정식<sup>(36)</sup>에 근거한 반(semi-) 경험적모델을 제안하였다. 이 이론적 모델은 순간반응과 평형반응 및 크리프반응으로 구성된다. 여기서, 순간반응은 주어진 예열온도에서 압력을 상승시켜 요구되는 값에 막 도달한 상태를 나타내는 반응이며, 순간반응후 온도와 압력을 일정하게 유지하여 치밀화가 거의 일어나지 않는 상태에 도달한 반응이 평형반응이다. 또한, 크리프반응은 두 반응사이에서 시간에 따른 치밀화를 나타낸다.

순간반응에서의 압력  $P$ 와 치밀화계수  $\beta (= \ln 1/1-D)$ 의 관계식은 고온 압축방정식<sup>(39)</sup>로부터 다음과 같이 쓸 수 있다.

$$P = A(T) + B(T)\beta \quad (42)$$

$$A = -\frac{2}{3}(Y_\infty - Y_o)(1 - T/T_m)^n \ln \frac{1}{1 - D_o},$$

$$B = \frac{2}{3} Y_\infty (1 - T/T_m)^n \quad (43)$$

여기서  $T, T_m$  및  $n$ 은 각각 온도( $^\circ\text{C}$ ), 용융온도( $^\circ\text{C}$ ) 및 상수를 나타낸다. 식 (42)는 다음과 같이 쓸 수 있다.

$$\beta = \hat{\beta}_o + P/\hat{\beta}(T) \quad (44)$$

여기서

$$\hat{\beta}_o = -\frac{\hat{A}(T)}{\hat{B}(T)} = (1 - \frac{\hat{Y}_o}{\hat{Y}_\infty}) \beta_o \quad (45)$$

$\hat{\beta}_o$ 는 초기밀도  $D_o$  (또는 초기 치밀화계수  $\beta_o (= \ln 1/1-D_o)$ )와 재료의 거동에 의존하며, 온도에는 의존하지 않는 상수임을 알 수 있다. 여기서 부호 “~”는 순간반응에서의 여러 값을 나타내기 위하여 사용한다. 또한,  $\hat{B}(T)$ 는 식 (43)에서 보듯이 온도상승에 따라 감소함을 보

이는데 이는 온도상승에 따른 소성강도의 감소에 인한 것이다.

압축시간에 따라 치밀화가 거의 일어나지 않는 평형반응에서의 압력  $P$ 와 치밀화계수  $\beta_f$ 의 관계식도 순간반응에서와 같은 형태로 쓸 수 있다.

$$\beta_f = \beta_o + P / \bar{B}(T) \quad (46)$$

여기서

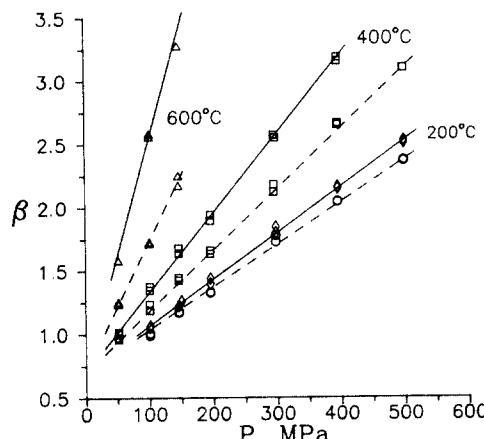


그림 2 철분말의 여러온도에서의 순간반응 및 평형반응의 이론식(순간반응:식 (44), 점선: 평형반응:식 (46), 실선)과 실험치의 비교

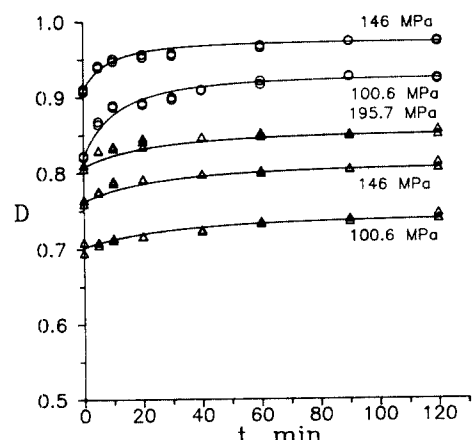


그림 3 철분말의 400°C와 600°C에서의 여러 압력에 따른 이론적인 크리프곡선(식(49))과 실험치(400°C (△), 600°C (○))의 비교

$$\beta_o = -\frac{\bar{A}(T)}{\bar{B}(T)} = (1 - \frac{\bar{Y}_o}{\bar{Y}_{\infty}}) \beta_o \quad (47)$$

이며 부호 “-”는 평형상태에서의 여러값을 나타내기 위하여 사용한다.

일정한 고온고압하의 시간에 따른 철분말의 치밀화 실험치로부터 다음과 같은 간단한 멱수법칙을 갖는 식을 제안할 수 있다.

$$\dot{\beta} = m(\beta_f - \beta)^q \quad (48)$$

여기서  $m$ 과  $q$ 는 상수이다. 식 (48)과 초기조건, 즉  $t=0$ 에서  $\beta=\beta(0)$ 를 사용하면 다음식을 구할 수 있다.

$$\begin{aligned} \beta &= \beta_f - [(\beta_f - \beta(0))^{1-q}] \\ &\quad - m(1-q)t^{\frac{1}{1-q}} \end{aligned} \quad (49)$$

식 (49)는 멱수법칙을 따르는 크리프 압축식으로서 순간반응과 평형반응 사이의 시간에 따른 금속분말의 치밀화 과정을 나타낸다.

여기서 제안된 모델은 철분말의 실험치와 비교하여 아주 잘 일치하였다. 그림 2는 이론식 (44) 및 (46)과 철분말과 순간반응 및 평형반응에서의 실험치와 비교를 나타낸다. 그림 3은 400°C와 600°C에서의 여러 압력에 따른 이론적인 크리프곡선과 철분말의 실험치를 나타낸다.

## 후 기

본 논문은 포항공과대학(P-91930)에서 지원된 연구비로 수행되었으며 이에 감사드립니다. 또한 원고준비를 해준 박경숙씨에게 감사합니다.

## 참 고 문 헌

- (1) Hermann, W., 1969, J. Appl. Phys., Vol. 40, p. 2490.
- (2) Goodman, M.A. and Cowin, S.C., 1972, Arch. Rat. Mech. Anal., Vol. 44, p. 249.
- (3) Kachanov, L.M., 1958, Izv. Akad. Nauk SSSR, Vol. 8, p. 26.
- (4) Rabier, P.J., 1989, Int. J. Engng Sci., Vol. 27, p. 29.
- (5) Martin, R.B., 1973, Pore Struct. and Prop. of Mat., Vol. 1, Modry, S., ed.,

- Academia, Prague, p. A35.
- (6) Drew, D.A., 1971, Studies in Applied Math., Vol. 50, p. 133.
  - (7) Mechanics of Granular Materials, New Models and Constitutive Relations, 1983, Jenkins, J.T. and Satake, M., eds., Elsevier, Amsterdam.
  - (8) The Effect of Voids on Material Deformation, 1976, AMD Vol. 16, Cowin, S.C. and Carroll, M.M., eds, ASME, New York.
  - (9) Journal of the Engineering Mechanics Division, 1980, ASCE, Vol. 16.
  - (10) International Journal of Engineering Science, 1984, Vol. 22.
  - (11) Carroll, M.M. and Katsume, N., 1983, J. Engng Res. Tech., Vol. 105, p. 509.
  - (12) Torre, C., 1948, Berg -u Hutten. Monatsh., Vol. 93, p. 62.
  - (13) Chu, T.Y. and Hashin, Z., 1971, Int. J. Engng Sci., Vol. 9, p. 971.
  - (14) MacKenzie, J.K. and Shuttleworth, R., 1949, Proc. Phys. Soc., Vol. 1362, p. 833.
  - (15) MacKenzie, J.K., 1950, Proc. Phys. Soc., Vol. B62, p. 2.
  - (16) Konopicky, K., 1948, Radex Rundschau, Vol. 3, p. 141.
  - (17) Shapiro I. and Kolthoff, I.M., 1947, J. Phys. Colloid Chem., Vol. 51, p. 483.
  - (18) Carroll, M.M. and Kim, K.T., 1984, Powder Metall., Vol. 27, p. 153.
  - (19) Voce, E., 1955, Metallurgia, Vol. 51, p. 219.
  - (20) Palm, J.H., 1949, Appl. Sci. Res., Vol. Al, p. 198.
  - (21) Murray, P., Rodger, E.P. and Williams, J., 1954, Trans. Br. Cerma. Soc., Vol. 53, p. 474.
  - (22) Wilkinson, D.S. and Ashby, M.F., 1975, Proc, 4th Int. Conf. on Sintering and Catalysis, Kuczynski, G.C., ed., Plenum Press, New York, p. 473.
  - (23) Swinkels, F.B., Wilkinson, D.S., Arzt, E. and Ashby, M.F., 1983, Acta Metall., Vol. 31, p. 1829.
  - (24) Carroll, M.M. and Holt, A.C., 1972, J. Appl. Phys., Vol. 72, p. 1326.
  - (25) Holt, A.C., Carroll, M.M. and Butcher, B. M., 1974, Pore Struct. and Prop. Mat., Modry, S., ed., Academia, Prague, Vol. 59, p. D63.
  - (26) Carroll, M.M., Kim, K.T. and Nesterenko, V.F., 1986, J. Appl. Phys., Vol. 59, p. 1962.
  - (27) Kim, K.T., 1987, Acta Mech., Vol. 66, p. 161.
  - (28) Carroll, M.M., 1985, Int. J. Solids Struct., Vol. 21, p. 645.
  - (29) Curran, J.H. and Carroll, M.M., 1979, J. Geophys. Res., Vol. 84, p. 1105.
  - (30) Green, R.J., 1972, Int. J. Mech. Sci., Vol. 14, p. 215.
  - (31) Gurson, A.L., 1977, J. Engng Mat. Tech., ASME, Vol. 99, p. 2.
  - (32) Kim, K.T., 1988, Int. J. Solids Struct., Vol. 24, p. 937.
  - (33) Shipman, F.H., Abou-Sayed, A.S. and Jones, A.H., 1975, Report 75-59, Terra Tek Inc., Salt Lake City, Utah.
  - (34) Kim, K.T. and Suh, J., 1989, Int. J. Engng Sci., in print.
  - (35) Carroll, M.M., 1986, Metal. Trans. A, Vol. 17A, p. 1977.
  - (36) Kim, K.T., 1988, Int. J. Powder Metall., Vol. 24, p. 31.
  - (37) Kim, K.T., 1989, Res Mech. Vol. 26, p. 371.
  - (38) Kim, K.T. and Suh, J., submitted for publication.

